

# Pd/MWCNTs(多壁碳纳米管)催化剂的制备及其 Heck 反应催化活性

李雪亭 殷鹏远 叶秋明 耿皎\* 王喜章\* 王秧年 胡征

(介观化学教育部重点实验室,江苏省纳米技术重点实验室,南京大学化学化工学院,南京 210093)

**摘要:** 以浓硝酸处理后的多壁碳纳米管(MWCNTs)为载体,通过微波辅助法简单而快速地制备了高度分散、粒径均一的Pd/MWCNTs催化剂。利用XRD、HRTEM、XPS等手段对催化剂进行了表征。考察了Pd/MWCNTs催化剂对Heck反应的催化活性,并优化了反应温度、碱的种类和用量等反应条件。结果表明,Pd/MWCNTs在Heck反应中具有良好的催化活性。

**关键词:** 多相催化; Heck 反应; 多壁碳纳米管; Pd 纳米粒子; 负载催化剂

中图分类号: O614.82<sup>·</sup>3; O643.3; TQ426.6 文献标识码: A 文章编号: 1001-4861(2011)08-1550-05

## Palladium on Multi-walled Carbon Nanotubes (Pd/MWCNTs): Preparation and Application in Heck Reaction

LI Xue-Ting ZANG Peng-Yuan YE Qiu-Ming GENG Jiao\* WANG Xi-Zhang\*  
WANG Yang-Nian HU Zheng

(Key Laboratory of Mesoscopic Chemistry of MOE, Jiangsu Provincial Lab for Nano Technology, School of Chemistry and Chemical Engineering, Nanjing University, Nanjing 210093, China)

**Abstract:** Palladium nanocatalysts were highly dispersed on surface-oxidized multi-walled carbon nanotubes (MWCNTs) by the microwave-assisted reduction of  $\text{PdCl}_2$  solution. These catalysts were characterized by X-ray diffraction, high resolution transmission electron microscopy, X-ray photoelectron spectroscopy. The catalytic properties of the Pd/MWCNTs catalysts for Heck reaction were examined and the conditions such as reaction temperature, kind of base, and dosage of base were optimized. The results indicate that Pd/MWCNTs catalysts present good catalytic activity for Heck reaction.

**Key words:** heterogeneous catalysis; Heck reaction; multi-walled carbon nanotubes; palladium; supported catalyst

Heck 反应指卤代芳烃、苯甲酰氯或芳基重氮盐等与乙烯基化合物的 C-C 偶联反应,是增长 C-C 链的有效方法之一,被广泛应用于有机合成和药物中间体合成<sup>[1]</sup>。Heck 反应一般在均相体系中进行,所用的催化剂主要是含钯的化合物,如  $\text{Pd}(\text{OAc})_2$ 、 $\text{PdCl}_2$  等。这些催化剂虽然活性较高,但在反应过程中易产生钯黑而使催化活性降低,而在反应结束后,催化剂难以分离和回收,这些因素限制了 Heck 反应的工业应用<sup>[2-3]</sup>。因此,近年来人们致力于发展新型非均相钯催化剂,即将 Pd(0) 催化剂负载于不同载体表面,

包括碳纳米管<sup>[4]</sup>、水滑石<sup>[5]</sup>、碳纳米纤维<sup>[6]</sup>、介孔硅<sup>[7]</sup>、活性炭<sup>[8]</sup>、氧化铝纳米粒子<sup>[9-10]</sup>、聚乙烯基吡啶<sup>[11]</sup>、多孔玻璃<sup>[12]</sup>、沸石等<sup>[13]</sup>。这类新型负载型催化剂具有较高的催化活性,且在反应结束后易与反应液分离,使催化剂的回收和重复利用成为可能。碳纳米管(CNTs)具有良好的化学稳定性和较高的比表面积,是催化活性组分的优良载体<sup>[14-15]</sup>。碳纳米管基复合催化剂已经被广泛应用于各种反应,如氢化、氧化、Suzuki 反应、Fischer-Tropsch 合成等反应中<sup>[16-19]</sup>,但应用于 Heck 反应的报道还很少。

收稿日期:2011-03-04。收修改稿日期:2011-04-22。

国家自然科学基金(No.20833002),“973”项目(No.2007CB936302)资助。

\*通讯联系人。E-mail: wangxzh@nju.edu.cn, gengjiao@nju.edu.cn

本工作利用微波辅助法将Pd纳米粒子负载于多壁碳纳米管上制备了Pd/MWCNTs催化剂。该催化剂的Pd粒子具有粒径小和分散均匀的特点,将其应用于催化以溴苯和丙烯酸甲酯为反应物的Heck反应,表现出良好的催化活性。

## 1 实验部分

### 1.1 试 剂

多壁碳纳米管(CVD法自制<sup>[20]</sup>),硝酸(65%~68%,A.R.),氢氧化钠(96%),盐酸(36%~38%),三乙胺(99%),无水碳酸钠(99.5%),乙二醇(A.R.)(以上试剂均购自南京化学试剂有限公司),溴苯(99.5%),丙烯酸甲酯(98%),N,N-二甲基甲酰胺(DMF,99.5%)(以上试剂均购自国药集团化学试剂公司),氯化钯(Pd 59%,上海试剂一厂),硼氢化钠(98%,天津市化学试剂研究所),甲醇(色谱纯,TEDIA)。

### 1.2 仪 器

翔鹄XH-300A微波超声合成仪(北京翔鹄科技公司),高分辨透射电子显微镜(HRTEM,JEOL-JEM-200K,加速电压200 kV),X射线衍射仪(XRD,Philips Xpert Pro X-ray diffractometer,管压40 kV,电流40 mA,扫描范围10°~90°,扫速0.5°·s<sup>-1</sup>,Cu K $\alpha$ 1线 $\lambda=0.154\text{ }056\text{ nm}$ ),X射线光电子能谱仪(XPS,ESCALAB MK II),GC-MS QP-2010 plus(Shimadzu,HP5毛细管柱30 m $\times$ 0.25 mm $\times$ 0.25 mm)。气相色谱条件载气:氮气(纯度99.999%),进样口温度:250 °C,分流进样1  $\mu$ L,分流比为50:1。采用色谱柱程序升温,柱温程序:初始温度80 °C,保持2 min;以20 °C·min<sup>-1</sup>的速率,升温至250 °C,保持8 min,柱流速:1.46 mL·min<sup>-1</sup>。质谱条件色谱-质谱接口温度:250 °C;离子源温度:200 °C;离子化方式:EI;质谱检测方式:SCAN,扫描速度312,质量范围为45~400  $m/z$ ,电离电压1.05 kV。

### 1.3 Pd/MWCNTs 催化剂的制备

MWCNTs的制备方法见文献<sup>[20]</sup>,比表面积为110  $\text{m}^2\cdot\text{g}^{-1}$ ,内径约为4~8 nm。称取2.0 g MWCNTs,放入250 mL三颈瓶,加入50.0 mL浓硝酸和50.0 mL蒸馏水,回流搅拌24 h,真空过滤,去离子水洗涤至滤液pH值为7,60 °C下烘干,即得MWCNTs-COOH。

称取21.5 mg PdCl<sub>2</sub>,加入10.0 mL蒸馏水和0.10 mL浓盐酸,使之完全溶解。快速搅拌下缓慢滴加1 mol·L<sup>-1</sup> NaOH溶液,调节pH值为8,得

Na<sub>2</sub>PdCl<sub>4</sub>溶液。

在烧瓶中加入100 mg MWCNTs-COOH和10 mL水,超声振荡10 min,依次缓慢滴入Na<sub>2</sub>PdCl<sub>4</sub>溶液和1 g·L<sup>-1</sup> NaBH<sub>4</sub>的水溶液(10 mL),置于微波超声合成仪中,设定反应条件:700 W,75 °C,2 min。反应完毕,停止搅拌,冷却至室温,过滤,去离子水洗涤至中性,60 °C下干燥,得催化剂Pd/MWCNTs。

### 1.4 催化性能评价

向压力反应釜中加入2.1 mL溴苯(20 mmol),20 mg Pd/MWCNTs催化剂(0.001 mol%),2.7 mL丙烯酸甲酯(30 mmol),15 mL DMF以及适量碱。向釜内通氮气保持5 min以置换其内空气,然后调节表压至200 kPa,设定温度下搅拌反应24 h。反应完毕,停止搅拌,冷却至室温,过滤,回收得负载催化剂,采用GC-MS联用仪对产物进行分析。

## 2 结果与讨论

### 2.1 Pd/MWCNTs 催化剂形貌和结构

图1为Pd/MWCNTs催化剂的HRTEM图。由图可见,MWCNTs经过浓硝酸处理后仍保持了较好的

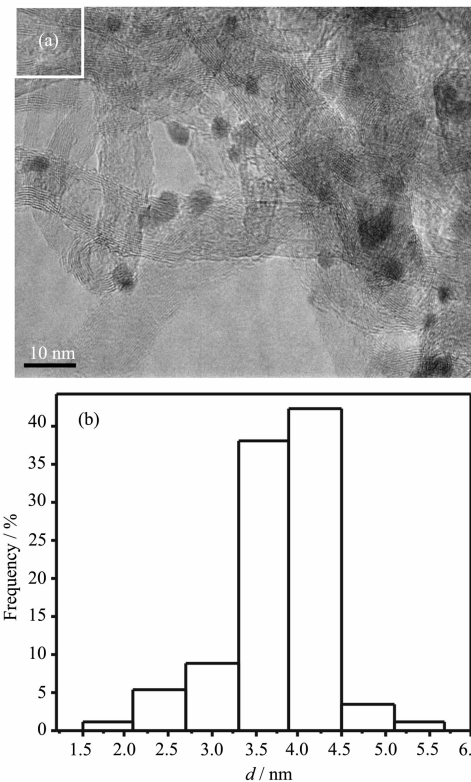


图1 (a) Pd/MWCNTs 催化剂的 HRTEM 图;(b) 粒径分布图

Fig.1 (a) HRTEM image of Pd/MWCNTs catalyst; (b) size distribution for supported Pd nanoparticles

管状形貌和石墨化程度,Pd 纳米粒子被均匀负载于 MWCNTs 外壁上,粒径较小,约为 4 nm,如图 1b 的粒径分布图所示。

图 2 为 MWCNTs-COOH 和 Pd/MWCNTs 的 XRD 图。在  $2\theta=26.2^\circ$  和  $43.0^\circ$  处的衍射峰可归属于石墨态碳纳米管(002)和(100)晶面的衍射, $2\theta=40.2^\circ$ 、 $46.7^\circ$ 、 $68.4^\circ$  和  $82.3^\circ$  处的衍射峰分别对应于立方 Pd (111)、(200)、(220)、(311) 晶面的衍射 (PDF No. 087-0639)。

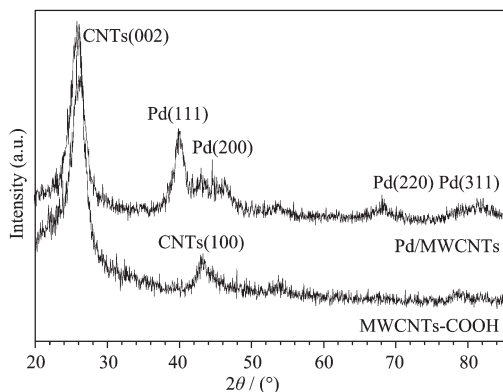


图 2 MWCNTs-COOH 及 Pd/MWCNTs 的 XRD 图

Fig.2 XRD patterns of MWCNTs-COOH and Pd/MWCNTs

图 3 为 Pd/MWCNTs 催化剂的 XPS 谱图。图中 335.4 和 340.8 eV 处的谱峰可归属于 Pd(0) 的  $3d_{5/2}$  和  $3d_{3/2}$ ,与文献<sup>[21]</sup>报道的金属 Pd 的相应峰位(335.1 和 340.5 eV)相比,其电子结合能高能侧偏移约 0.3 eV,可能源于载体对金属钯的吸电子作用,即钯纳米粒子与载体表面之间存在较强的相互作用。图中 336.8 和 342.2 eV 处的谱峰可归属于氧化钯,表明 Pd 纳米粒子被部分氧化。

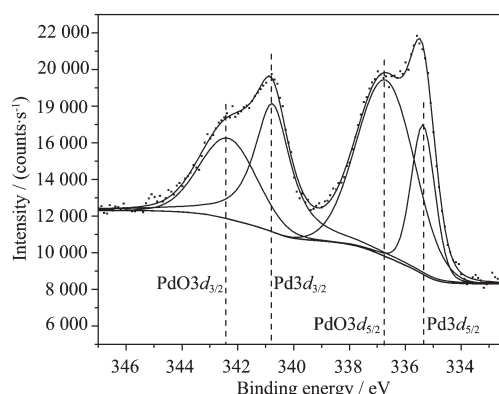


图 3 催化剂 Pd/MWCNTs 的 XPS 谱图

Fig.3 XPS spectra for Pd/MWCNTs

## 2.2 Heck 反应催化活性

### 2.2.1 反应温度的影响

考察了不同反应温度对 Pd/MWCNTs 催化剂催化 Heck 反应的影响,包括 100、120、130、140 和 150 ℃,结果见表 1。可见,在 130 ℃以下溴苯转化率很低或几乎不反应。当反应温度从 130 ℃升至 140 ℃时,目标产物产率从 4.2% 急剧增加至 42.6%,TOF 值从  $1.5 \text{ h}^{-1}$  提高至  $14.9 \text{ h}^{-1}$ ,远高于传统 Pd/C 催化剂的活性(文献中采用 0.015 mol% 的 Pd/C 催化剂,在 160 ℃下反应 12 h,所得肉桂酸甲酯的产率约 20%, $\text{TOF}=1.1 \text{ h}^{-1}$ )<sup>[22]</sup>。这种高活性可归因于纳米催化剂独特的结构及表面特性以及在反应体系中的良好分散,有利于反应物分子向催化剂表面的扩散、吸附及产物分子从催化剂表面的脱附。温度高于 140 ℃时产率变化较小,从 42.6% 缓慢增至 51.9%。当反应温度超过 150 ℃时会带来溶剂过度挥发、丙烯酸甲酯聚合、产物难以分离等问题。因此,选择 140 ℃作为优化的反应温度。

表 1 温度对 Heck 反应的影响

Table 1 Effect of temperature on yield for catalytic Heck reaction

Temperature / °C	Conversion of bromobenzene / %	Selectivity / %	TOF / h <sup>-1</sup>
100	0	100	0
120	0.7	100	0.2
130	4.2	100	1.5
140	42.6	100	14.9
150	51.9	100	18.0

(1) Reaction conditions: 20 mg (Pd 0.12mol%) catalyst, 20 mmol bromobenzene, 30 mmol methyl acrylate, 30 mmol Na<sub>2</sub>CO<sub>3</sub>, 15 mL DMF, 24 h

(2) TOF: specific activity per Pd surface atom for hydrogenation of bromobenzene over supported Pd catalysts

### 2.2.2 碱种类对反应的影响

表 2 是碱的种类对 Pd/MWCNTs 催化 Heck 反

应的影响。当使用 TEA 和 NaOAc 作为反应中的碱物种时目标产物产率低于 10%,而使用 NaOEt 和

表2 碱的种类对Heck反应的影响

Table 2 Effect of base on conversion of bromobenzene over Pd/MWCNTs catalyst

Base	Conversion of bromobenzene / %	Selectivity / %	TOF / h <sup>-1</sup>
TEA	8.9	100	3.1
NaOAc	6.2	100	2.2
NaOEt	31.5	100	10.9
Na <sub>2</sub> CO <sub>3</sub>	42.6	100	14.9

Reaction conditions: 20 mg (Pd 0.12mol%) catalyst, 20 mmol bromobenzene, 30 mmol methyl acrylate, 15 mL DMF, base 30 mmol, 24 h, 140 °C

Na<sub>2</sub>CO<sub>3</sub>时显著提高,超过30%,其中以Na<sub>2</sub>CO<sub>3</sub>为反碱的反应转化率最高,达到42.6%。这可能缘于TEA的沸点较低(89.7 °C,远低于反应温度),NaOAc的碱性不强,不利于反应过程中卤化氢的消除。而Na<sub>2</sub>CO<sub>3</sub>与生成的HBr反应后产生的CO<sub>2</sub>易于从体系中逸出,有利于反应的进行。由此可见,在相同的反应条件下,碱种类对Heck反应有显著的影响。因Na<sub>2</sub>CO<sub>3</sub>作为碱物种时Pd/MWCNTs催化Heck反应的活性较高,而且价格低廉,故选择Na<sub>2</sub>CO<sub>3</sub>作为催

化反应体系的碱物种。

### 2.2.3 Na<sub>2</sub>CO<sub>3</sub>用量对催化活性的影响

Na<sub>2</sub>CO<sub>3</sub>用量对Pd/MWCNTs催化Heck反应的影响见表3。反应中不添加Na<sub>2</sub>CO<sub>3</sub>时没有反应产物生成,随着Na<sub>2</sub>CO<sub>3</sub>用量的增加目标产物的产率增加,说明碱在Pd/MWCNTs催化的Heck反应中是必不可少的。适当过量的碱有利于提高底物的转化率,当Na<sub>2</sub>CO<sub>3</sub>的用量过多时,转化率增加缓慢,可能是Na<sub>2</sub>CO<sub>3</sub>在DMF中的溶解已达到饱和所致。

表3 Na<sub>2</sub>CO<sub>3</sub>用量对Heck反应的影响

Table 3 Effect of base amount on conversion of bromobenzene over Pd/MWCNTs catalyst

Na <sub>2</sub> CO <sub>3</sub> / mmol	Conversion of bromobenzene / %	Selectivity / %	TOF / h <sup>-1</sup>
0	0	100	0
5	10.2	100	3.6
15	25.1	100	8.7
30	42.6	100	14.9
40	43.8	100	15.2

Reaction conditions: 20 mg (Pd 0.12mol%) catalyst, 20 mmol bromobenzene, 30 mmol methyl acrylate, 15 mL DMF, 24 h, 140 °C

## 3 结 论

以浓硝酸处理的多壁碳纳米管为载体,通过微波辅助法,制备了粒径均一(约4 nm)、分散良好的Pd/MWCNTs催化剂。初步考察了反应温度、碱的种类及碱的用量等对Pd/MWCNTs催化的Heck反应的催化性能的影响。Na<sub>2</sub>CO<sub>3</sub>作为反应碱用于Pd/MWCNTs催化Heck反应表现出很好的催化活性;一定范围内提高反应温度、增加碱的用量有利于提高催化性能。优化了的反应条件为:溴苯与丙烯酸甲酯物质的量的比1:1.5,催化剂用量0.001mol%,Na<sub>2</sub>CO<sub>3</sub>的用量为n<sub>Na<sub>2</sub>CO<sub>3</sub></sub>/n<sub>溴苯</sub>=1.5,反应温度140 °C,反应时间24 h。在此条件下,肉桂酸甲酯产率可达到42.6%。结果表明,Pd/MWCNTs催化剂在催化Heck反应中表现出良好的催化活性,少量催化剂

(0.001mol%,远低于传统Pd/C催化剂的用量)即可有效地催化溴苯与丙烯酸甲酯的Heck反应。

## 参考文献:

- [1] Heck R F. *Org. React.*, **1982**, *27*:345-352
- [2] Jeffery T. *Tetrahedron Lett.*, **2000**, *41*(44):8445-8449
- [3] Bedford R B, Cazin C S J, Holder D. *Chem. Commun.*, **2003**, *3*(15):1787-1796
- [4] Jo Y S, Kim J Y, Oh Il-K, et al. *Bull. Korean Chem. Soc.*, **2010**, *31*(6):1735-1738
- [5] Zhou H, Zhuo G L, Jiang X Z. *J. Mol. Catal. A: Chem.*, **2006**, *248*:26-31
- [6] Zhu J, Zhou J H, Zhao T J, et al. *Appl. Catal. A: General*, **2009**, *352*:243-250
- [7] Wang P Y, Wang Z Y, Li J G, et al. *Micropor. Mesopor.*

- Mater., **2008**,**116**:400-405
- [8] Glasnov T N, Findenig S, Kappe C O. *Chem. Eur. J.*, **2009**, **15**:1001-1010
- [9] Neal L M, Hagelin-Weaver H E. *J. Mol. Catal. A: Chem.*, **2008**, **284**:141-148
- [10] WU Shi-Hua(吴世华), HUANG Wei-Ping(黄唯平), ZHU Chang-Ying(朱常英), et al. *Chinese J. Inorg. Chem. (Wuji Huaxue Xuebao)*, **1997**,**13**(2):220-223
- [11] Evangelisti C, Panziera N, Pertici P, et al. *J. Catal.*, **2009**, **262**:287-293
- [12] Schmöger C, Szuppa T, Tied A, et al. *Chem. Sus. Chem.*, **2008**, **1**:339-347
- [13] Jiang Y, Gao Q M. *J. Am. Chem. Soc.*, **2006**,**128**:716-717
- [14] Ye X R, Lin Y H, Wai C M. *Chem. Commun.*, **2003**,**5**:642-643
- [15] Yu R, Chen L, Liu Q, et al. *Chem. Mater.*, **1998**,**10**(3):718-722
- [16] Deng W P, Liu M, Tan X S, et al. *J. Catal.*, **2010**,**271**:2232
- [17] Kongkanand A, Vinodgopal K, Kuwabata S, et al. *J. Phys. Chem. B*, **2006**,**110**(33):161852-16188
- [18] Zhang P P, Zhang X X, Sun H X, et al. *Tetrahedron Lett.*, **2009**,**50**:4455-4458
- [19] Abbaslou R M M, Tavasoli A, Dalai A K. *Appl. Catal. A*, **2009**,**355**:33-41
- [20] Yang Y, Hu Z, Tian Y J, et al. *Nanotechnol.*, **2003**,**14**(7):733-737
- [21] Oh S H, Hoflund G B. *J. Phys. Chem. A*, **2006**,**110**:7609-7613
- [22] Zhao F Y, Bhanage B M, Shirai M, et al. *Chem. Eur. J.*, **2000**, **6**(5):843-848